

EFEITOS NÃO-CLÁSSICOS DO CAMPO LUMINOSO

SANTOS, Mairon M. dos¹. BASEIA, Basílio²

Palavras chaves: correlação, anti-bunching

1 INTRODUÇÃO (justificativa e objetivos)

A quantização do campo eletromagnético realizada por Dirac em 1927 [1], era tida como uma formulação alternativa dispensável, ainda que sofisticada, para explicar os fenômenos luminosos conhecidos, uma vez que a teoria semi-clássica fornecia os mesmos resultados. Entretanto, a partir da formulação quântica da teoria da coerência óptica, desenvolvida por Glauber [2] em 1963, inspirada no laser, foi previsto o efeito de antiagrupamento de fótons, cuja explicação não poderia ser obtida classicamente. Verificado experimentalmente em 1977 [3], por Kimble *et al.*, esse novo efeito marcou o efetivo nascimento da Óptica Quântica, a qual passou a ter o status de teoria necessária Posteriormente.

O interesse pelos ENC advém de suas potenciais aplicações em avançados tópicos de pesquisa, tais como: teletransporte [?], computação quântica [?], comunicação quântica [?], etc.

Um método de engenharia de estados não clássicos é o proposto por Piza [?], em 1996, onde, dada uma Hamiltoniana dependente do tempo, podemos variar alguns parâmetros afim de obter determinados estados. É neste aspecto o enfoque principal deste trabalho.

Variar estes parâmetros significa verificar como o sistema se comporta mediante alterações de amplitude, tal como sua frequência. Pode-se também analisar como estas mudanças ocorrem para estados diferentes como $|0\rangle$, $|1\rangle$, $|2\rangle$, etc, afim de verificar os efeitos de agrupamento e anti-agrupamento de fótons. Estas características são verificadas na análise da curva de g^2 .

2 METODOLOGIA

A função de correlação de segunda ordem, g^2 , é obtida utilizando-se o método desenvolvido por Piza e Tsai, que consiste em resolver equações diferenciais de primeira ordem acopladas. Este método permite a precisão desejada visto que o mesmo é tratado numericamente através do programa Maple.

3 RESULTADOS E DISCUSSÃO

Considerando a hamiltoniana quadrática, dependente do tempo, que descreve o sistema:

$$\hat{H} = \hbar\{f_1\hat{a}^\dagger\hat{a} + f_2\hat{a}^\dagger\hat{a}^\dagger + f_2^*\hat{a}\hat{a} + f_3\hat{a}^\dagger + f_3^*\hat{a}\} \quad (1)$$

Para $f_1(t)$ real, o hamiltoniano é hermitiano.

Olhando pelo “Heisenberg pictury”, os valores médios dos produtos de potências, dos operadores de criação e aniquilação, são fundamentais para a determinação de algumas propriedades, definindo:

$$A_{mn} \equiv Tr[(\hat{a}_H^\dagger)^m(\hat{a}_H)^n\hat{\rho}] = A_{nm}^* \quad (2)$$

Onde $\hat{\rho}$ é tomado como sendo o operador densidade, do estado a ser estudado.

¹Aluno de Iniciação Científica. Instituto de Física. mairon@fisica.grad.ufg.br

²Orientador. Instituto de Física- UFG. basilio@if.ufg.br

Da maneira como A_{mn} foi construído, a equação que descreve a sua evolução temporal é dada por:

$$\frac{dA_{mn}}{dt} = \frac{i}{\hbar} \text{Tr}\{[\hat{H}_H, (\hat{a}_H^\dagger)^m (\hat{a}_H)^n] \hat{\rho}\} \quad (3)$$

$\hat{H}_H(t)$ é o hamiltoniano (1) escrito em termos dos operadores $\hat{a}_H^\dagger(t)$, $\hat{a}_H(t)$. Para se fazer estudo de propriedades como antiagrupamento de fótons, F-Fano e compressão é necessário o conhecimento dos seguintes sistemas de equações diferenciais:

$$\frac{dA_{01}}{dt} = -i[f_1 A_{01} + 2f_2 A_{10} + f_3] \quad (4)$$

$$\frac{dA_{02}}{dt} = -2i[f_1 A_{02} + f_2(2A_{11} + 1) + f_3 A_{01}] \quad (5)$$

$$\frac{dA_{11}}{dt} = i[2f_2^* A_{02} - 2f_2 A_{20} + f_3^* A_{01} - f_3 A_{10}] \quad (6)$$

$$\frac{dA_{03}}{dt} = -3i[f_1 A_{03} + 2f_2(A_{01} + A_{12}) + f_3 A_{02}] \quad (7)$$

$$\frac{dA_{04}}{dt} = -4i[f_1 A_{04} + f_2(3A_{02} + 2A_{13}) + f_3(t) A_{03}] \quad (8)$$

$$\frac{dA_{12}}{dt} = -i[f_1 A_{12} + 2f_2(A_{10} + 2A_{21}) - 2f_2^* A_{03} + 2f_3 A_{11} - f_3^* A_{02}] \quad (9)$$

$$\frac{dA_{13}}{dt} = -i[2f_1 A_{13} + 6f_2(A_{11} + A_{22}) - 2f_2^* A_{04} + 3f_3 A_{12} - f_3^* A_{03}] \quad (10)$$

$$\frac{dA_{22}}{dt} = 2i[f_2^*(A_{02} + 2A_{13}) - f_2(A_{20} + 2A_{31}) + f_3^* A_{12} - f_3 A_{21}] \quad (11)$$

Para se obter a solução completa destas equações é necessário ter o conhecimento das condições iniciais a partir do qual o sistema descrito pelo hamiltoniano evolui. As condições iniciais são dadas pela equação 12, onde $|p\rangle$ é o estado de Fock para o qual os termos $A_{mn}(0)$ são calculados.

$$A_{mn}(0) = \langle p | (\hat{a}^\dagger)^m (\hat{a})^n | p \rangle \quad (12)$$

Variando-se os parâmetros para os estados iniciais $|1\rangle$ e $|2\rangle$, observa-se que para baixas amplitudes e frequências o efeito *anti-bunching* é bem acentuado como se pode verificar em 1.

Já para frequências e amplitudes um pouco mais altas observa-se que g^2 tende rapidamente a certos valores como na figura. Lógico dentro destes extremos há uma variedade de valores.

4 CONCLUSÃO

Foi obtida a função de correlação de segunda ordem com resultados que obedecem bem os resultados obtidos na literatura, o que pode ser verificado nos gráficos do item anterior. Verificou-se que encontrar características do efeito *anti-bunching* é necessário variar insistentemente tais parâmetros visto que mesmos são difíceis de serem encontrados. Isto é verificado nos gráficos que seguiram na seção anterior. Observou-se que quando o *anti-bunching* é observado a forma de g^2 é bem fragmentada e ocorre geralmente para amplitudes e frequências pequenas.

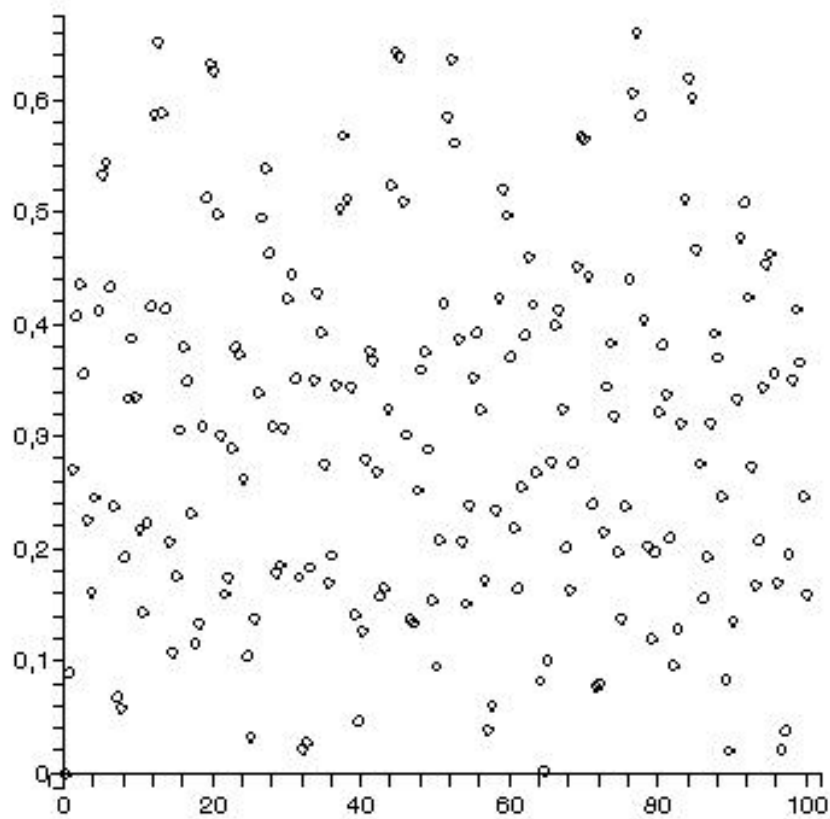


Figure 1: Dispersão de g^2

5 REFERÊNCIAS BIBLIOGRÁFICAS

References

- [1] P.A.M. Dirac, Proc. Roy. Soc. Lond. A **114** (1927) 243.
- [2] R.J.Glauber, Phys. Rev. Lett. **10** (1963) 84; Phys. Rev. **131** (1963) 2766.
- [3] H.J.Kimble, M. Dagenais, L. Mandel, Phys. Rev. Lett. **39** (1977) 691.